

РОССИЙСКАЯ АКАДЕМИЯ НАУК  
СИБИРСКОЕ ОТДЕЛЕНИЕ

ЖУРНАЛ  
СТРУКТУРНОЙ  
ХИМИИ  
НАУЧНЫЙ ЖУРНАЛ

Основан в 1960 г.

Выходит 8 раз в год

ТОМ 59

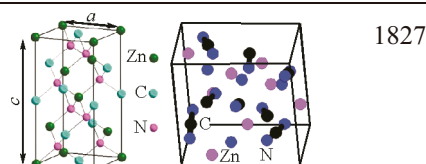
Ноябрь-декабрь

№ 8, 2018

СОДЕРЖАНИЕ

ТЕОРИЯ СТРОЕНИЯ МОЛЕКУЛ И ХИМИЧЕСКОЙ СВЯЗИ

Басалаев Ю.М., Емельянова А.М., Сидорова А.В.

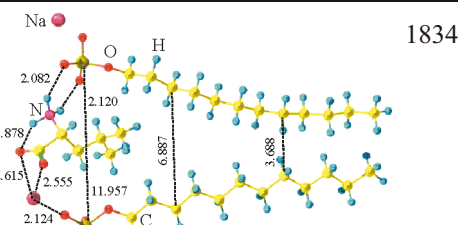


1827

**Особенности кристаллической, электронной и колебательной структуры цианидов цинка**

**Ключевые слова:** цианид, ZnCN<sub>2</sub>, Zn(CN)<sub>2</sub>, Zn(CN)<sub>2</sub>, халькопирит, химическая связь

Гиричева Н.И., Курбатова М.С., Тюнина Е.Ю., Баранников В.П.

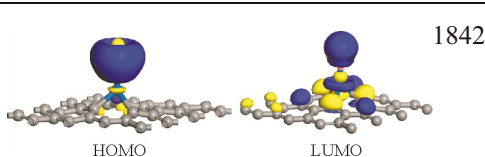


1834

**Квантово-химическое моделирование взаимодействия лейцина с димером додецилсульфата натрия**

**Ключевые слова:** аминокислота, лейцин, димер додецилсульфата натрия, комплексы, квантово-химические расчеты, метод DFT, геометрические и энергетические характеристики

Tong Y.C., Wang Q.Y., Li Z., Yu L.B.

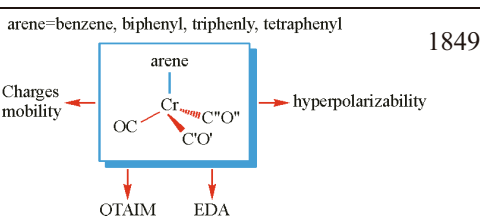


1842

**DFT study on the CO catalytic oxidation reaction on the PtCu-embedded graphene**

**Keywords:** CO catalytic oxidation, density functional theory, PtCu/graphene

Ardestani E., Ghiasi R., Tabatabai J.M.

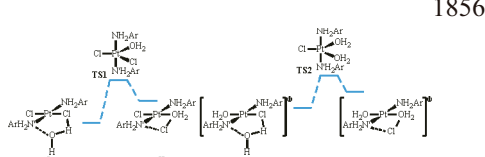


1849

**Theoretical study of arene ligand effect on the structure and properties of Cr(CO)<sub>3</sub>(arene) complexes (arene=benzene, biphenyl, triphenyl, tetraphenyl)**

**Keywords:** arene complex, substituent effect, energy decomposition analysis (EDA), hyperpolarizability

Sadeghi N., Ghiasi R., Jamehbozorgi S.



1856

**A computational approach for hydrolysis of the third-generation anticancer drug:**

**trans-platinum(II) complex of 3-aminoflavone**

**Keywords:** transplatin, anticancer drug, solvent effect, hydrolysis, thermodynamics and kinetics

Yıldırım S.Ö., Büyükmumcu Z., Doğan Ş.D., Butcher R.J.

**Redetermination and density functional studies of N,N'-(disulfanediylidobenzene-2,1-diyl)dipyridine-2-carboxamide**

**Keywords:** structural analysis, acyl azide, density functional theory, NBO analysis

Odame F., Hosten E.C.

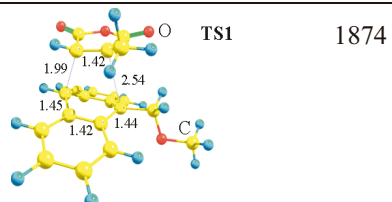
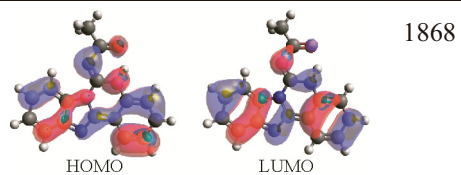
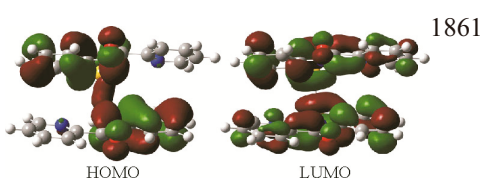
**Synthesis, characterization and computational studies of triazatetracyclo acetamide**

**Keywords:** triazatetracyclic, acetyl chloride, frontier orbital, HOMO–LUMO

Bazian A., Beyramabadi S.A., Davoodnia A., Bozorgmehr M.R., Pordel M.

**A theoretical investigation on the regioselectivity of the Diels–Alder cycloaddition of 9-(methoxymethyl)-anthracene and citraconic anhydride**

**Keywords:** DFT, Diels–Alder, cycloaddition, regioselectivity, anthracene

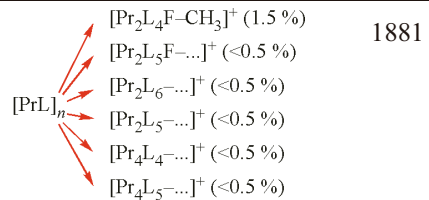


## ИССЛЕДОВАНИЕ СТРОЕНИЯ МОЛЕКУЛ ФИЗИЧЕСКИМИ МЕТОДАМИ

Костюк Н.Н., Дик Т.А.

**Масс-спектрометрическое исследование надмолекулярного строения трикс-пивалоилтрифторацетоната празеодима**

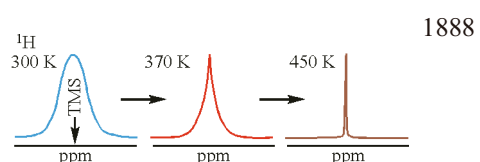
**Ключевые слова:** празеодим, масс-спектр, пивалоилтрифторацетон, хелат, олигомеризация



Кавун В.Я., Антохина Т.Ф., Савченко Н.Н., Полянцев М.М., Бровкина О.В.

**Синтез, ионная подвижность и фазовый переход в соединении  $(\text{NH}_4)_6\text{LiHf}_2\text{Zr}_2\text{F}_{23}$**

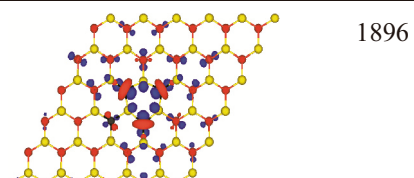
**Ключевые слова:** фторид  $(\text{NH}_4)_6\text{LiHf}_2\text{Zr}_2\text{F}_{23}$ , ионная подвижность, спектры ЯМР



Леднева А.Ю., Далматова С.А., Федоренко А.Д., Асанов И.П., Еняшин А.Н., Мазалов Л.Н., Фёдоров В.Е.

**РФЭС исследование твердых растворов  $\text{Mo}_{1-x}\text{Nb}_x\text{S}_2$  ( $0 < x < 0.15$ )**

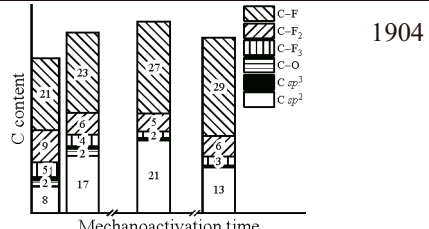
**Ключевые слова:** молибден, ниобий, дисульфиды, DFT, рентгенофотоэлектронные спектры



Митъкин В.Н., Асанов И.П., Сагидуллин А.К.

**Изучение особенностей строения углерод-фторуглеродных нанокомпозитов методами РФЭС и низкотемпературной адсорбции азота**

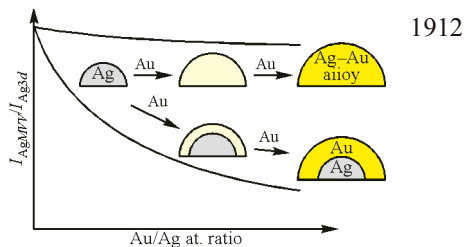
**Ключевые слова:** сверхстехиометрический фторуглеродный материал, нанокомпозиты, терморасширенный графит, рентгеновская фотоэлектронная спектроскопия, текстура, мезопоры



Смирнов М.Ю., Калинкин А.В., Бухтияров В.И.

**Использование данных метода РФЭС для определения пространственного распределения металлов в биметаллических частицах, нанесенных на плоскую поверхность**

**Ключевые слова:** серебро, золото, биметаллические частицы, структура ядро-оболочки, рентгеновская фотоэлектронная спектроскопия



Гуда Л.В., Кравцова А.Н., Кубрин С.П., Мазурицкий М.И.,  
Киричков М.В., Русалёв Ю.В., Шаповалов В.В., Солдатов А.В.

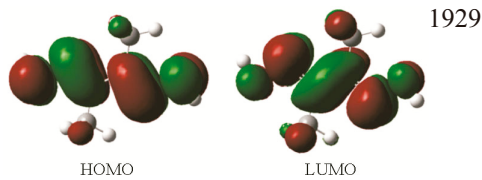
### **Особенности структуры и химического состава обыкновенного хондрита Jiddat Al Harasis 055**

**Ключевые слова:** спектроскопия XANES,  
мессбауэровская спектроскопия, элементное картирование,  
зарядовое состояние, рентгеновская дифракция,  
обыкновенные хондриты, Jiddat Al Harasis 055

Kichou N., Guechtouli N., Zaater S., Meghezzi H., Hank Z.

### **DFT calculations and spectroscopic studies of some Ni-dimethylglyoxime based complexes isolated by hydrothermal process**

**Keywords:** никель, dimethylglyoxime, hydrothermal process,  
металлические комплексы, DFT

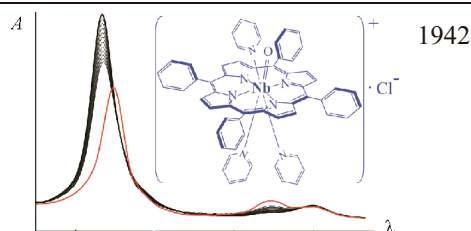


## **СТРУКТУРА ЖИДКОСТЕЙ И РАСТВОРОВ**

Моторина Е.В., Можжухина Е.Г., Ломова Т.Н.

### **Химическая структура пиридиновых комплексов оксо(5,10,15,20-тетрафенил21Н,23Н- порфината)хлорониобия(V) по данным термодинамики/кинетики образования и спектроскопии**

**Ключевые слова:** ниобий(V)порфирин, пиридин,  
обратимая координация, спектроскопия, химическая структура



## **КРИСТАЛЛОХИМИЯ**

Борисов С.В., Первухина Н.В., Магарилл С.А.

### **Вариации атомных конфигураций в стабильных высокосимметрических (кубических) структурах**

**Ключевые слова:** кристаллографический анализ,  
стабильность – симметрия, шпинель,  $(\text{Fe},\text{Ni})_8\text{AgS}_8$ ,  $\text{KTb}_3\text{F}_{10}$ ,  
 $(\text{Ba},\text{Pb})_6(\text{Cu},\text{Fe},\text{Ni})_{25}\text{S}_{27}$ , кристаллодинамика (order-dynamics)

Храненко С.П., Сухих А.С., Пищур Д.П., Бунеева П.С.,  
Комаров В.Ю., Громилов С.А.

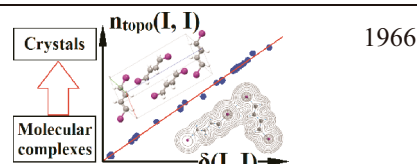
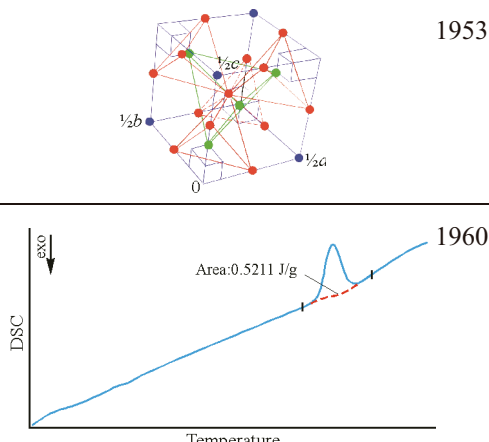
### **[NiEn<sub>3</sub>]WO<sub>4</sub>. кристаллоструктурные особенности фазового перехода при 269 К**

**Ключевые слова:** биметаллическая комплексная соль,  
tris-этилендиаминникель, вольфрамат-анион,  
дифференциально-сканирующая калориметрия,  
рентгеноструктурный анализ, кристаллохимия

Мухитдинова С.Э., Барташевич Е.В., Цирельсон В.Г.

### **Индексы порядков связей иода: от молекулярных комплексов к кристаллам**

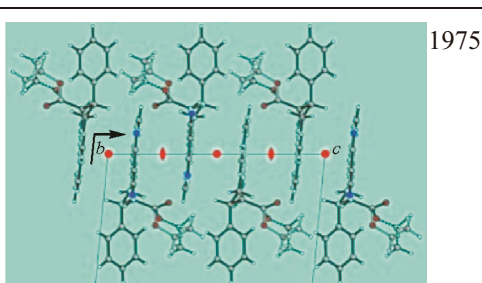
**Ключевые слова:** иод, индексы порядков связи,  
индексы делокализации электронов, галогенные связи



Исмиев А.И., Потехин К.А., Малеев А.В., Аскеров Р.К.,  
Магеррамов А.М.

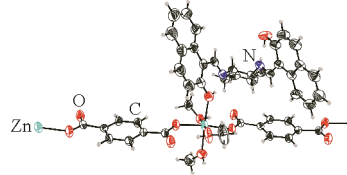
### **Синтез, молекулярная и кристаллическая структура этил 4,6(R,S)-дифенил-2-дицианометиленциклогекс- 3-ен-1(R,S)-карбоксилата**

**Ключевые слова:** мультикомпонентная конденсация,  
акетоуксусный эфир, бензальацитофенон,  
1,3-дикарбонильные соединения, малонодинитрил, молекулярные  
агломераты, атом-атомные потенциалы



Wang D.-W., Yang B., Zhao N., Shi Z.-J., Wang Y., Yang S.-L.

1982

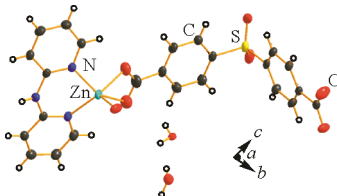


**Crystal structure of a new Zn(II) coordination polymer based on a chiral salen Schiff base**

**Keywords:** crystal structure, chiral Schiff base, Zn(II) complex, coordination polymer

Yuan C., Liu S.N., Xu X.J.

1986

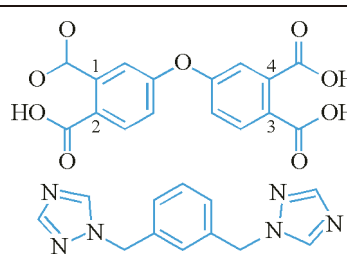


**Crystal structure and luminescence of a novel binuclear zinc(II) complex with di-2-pyridylamine and 4,4'-sulfonyldibenzene**

**Keywords:** Zn(II) complex, di-2-pyridylamine, 4,4'-sulfonyldibenzene acid, crystal structure, luminescence

Yuan C., Liu S.N., Xu X.J.

1992

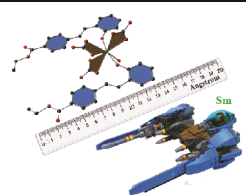


**Synthesis, crystal structure and fluorescent property of a one-dimensional coordination polymer constructed by 1,3-bis(1,2,4-triazol-1-ylmethyl)-benzene and 4,4'-oxydiphthalic acid**

**Keywords:** Cd(II) complex, 4,4'-oxydiphthalic acid, 1,3-bis(1,2,4-triazol-1-ylmethyl)benzene, crystal structure, fluorescent property

Abu-Yamin A.A., AlDamen M.A., Sinnokrot M.O., Juwhari H.K., Salman M., Sarairah I., Al-hawarin J., Mubarak M.S.

1998

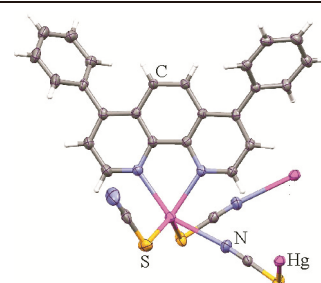


**Synthesis, characterization, crystal structure and fluorescence of a new samarium Schiff base complex**

**Keywords:** samarium, Schiff base, fluorescence, crystal structure, Sparkle/PM7

Amani V., Alizadeh R., Khosrojerdy A.

2006



**Mercury(II) mixed-ligand coordination polymer constructed from 4,7-diphenyl-1,10-phenanthroline and thiocyanate ligands:**

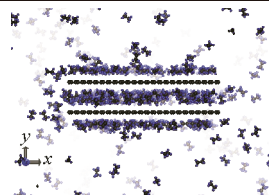
**Crystal structure studies, spectroscopic characterization and thermal analyses**

**Keywords:** crystal structure, mercury(II) complex, 4,7-diphenyl-1,10-phenanthroline, thermal gravimetric analysis, differential thermal analysis, luminescence spectroscopy

**МАТЕРИАЛЫ XVIII СИМПОЗИУМА  
ПО МЕЖМОЛЕКУЛЯРНОМУ ВЗАИМОДЕЙСТВИЮ  
И КОНФОРМАЦИЯМ МОЛЕКУЛ  
Ярославль, 20-24 июня 2016 г.**

Толмачев А.М., Анучин К.М., Фоменков П.Е., Гумеров М.Р.

2013



**Исследование равновесия адсорбции и плотности адсорбатов методом молекулярной динамики**

**Ключевые слова:** адсорбция, изотермы адсорбции, численный эксперимент, молекулярная динамика, щелевидные микропоры, углеродные адсорбенты

Туровцев В.В., Орлов Ю.Д., Каплунов И.А.

2021

**Сравнение стандартных функционалов расчета свойств молекул на вариационном пределе**

**Ключевые слова:** слэтеровский базис, электронная энергия, энタルпия образования, энталпия разрыва связи, погрешности обменно-корреляционных потенциалов, вариационный предел

$\Delta E_{elec} \rightarrow 0$   
**method/basis set** = B1LYP, B1PW91, B3LYP,  
 BHandH, BHandHLYP,  
 BLYP, BP, CAMB3LYP,  
 HTBS, KMLYP, LCY-  
 BLYP, LCY-BP86, LCY-  
 PBE, LDA, M06, M06-2X  
 M06-HF, M06L, mPBE,  
 mPW, MPWIK, MPW1PW,  
 O3LYP, OLYP, OPBE,  
 OPBE0, PBE, PBE0, PBEsol  
 PW91, revPBE, revTPSS,  
 RPBE, TPSS, TPSSH,  
 X3LYP, HF

Терентьев А.В., Варфоломеева В.В.

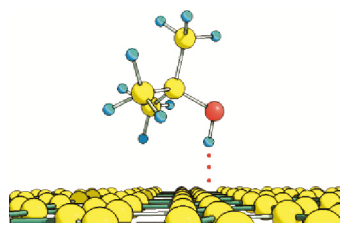
**Водородная связь OH···π<sub>GTS</sub> при адсорбции изобутанола, трет-бутилана и трет-амилового спирта на графитированной термической саже**

**Ключевые слова:** водородные связи, константа Генри, молекулярно-статистический расчет, графитированная термическая сажа, теория функционала плотности (DFT)

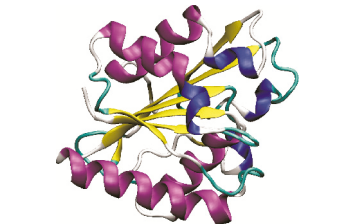
Кондратьев М.С., Кабанов А.В., Самченко А.А., Комаров В.М., Хечинашвили Н.Н.

**Параллельные вычисления в разработке термостабильных мутантов липаз**

**Ключевые слова:** липаза, LipA, CLE, термостабильность, молекулярная динамика, биоинженерия, точечные мутации, ферменты



2028



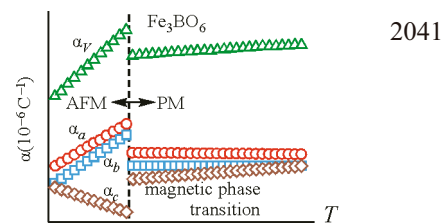
2035

**ШКОЛА ДЛЯ МОЛОДЫХ УЧЕНЫХ  
"ТЕРМОРЕНТГЕНОГРАФИЯ И РЕНТГЕНОГРАФИЯ  
НАНОМАТЕРИАЛОВ-3"  
Екатеринбург, 3-6 апреля 2018 г.**

Бирюков Я.П., Филатов С.К., Вагизов Ф.Г., Зинатуллин А.Л., Бубнова Р.С.

**Термическое расширение антиферромагнетиков FeBO<sub>3</sub> и Fe<sub>3</sub>BO<sub>6</sub> вблизи температуры Нееля**

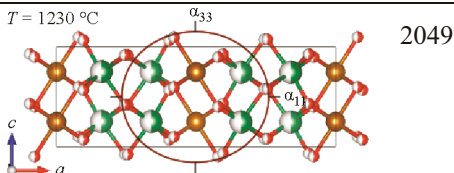
**Ключевые слова:** бораты железа, антиферромагнетики, терморентгенография, мёссбауэровская спектроскопия, термическое расширение



Гуляева Р.И., Петрова С.А., Чумарев В.М.

**Высокотемпературные исследования термического расширения FeNb<sub>2</sub>O<sub>6</sub>**

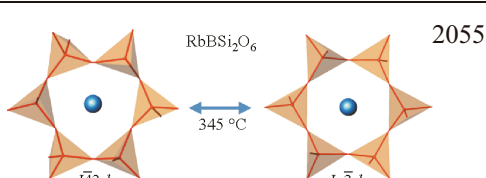
**Ключевые слова:** ниобат железа, рентгеноструктурный анализ, термическое расширение, анизотропия



Кржижановская М.Г., Бубнова Р.С., Филатов С.К.

**Полиморфизм RbBSi<sub>2</sub>O<sub>6</sub> и кристаллическая структура его высокотемпературной модификации по данным порошковой дифрактометрии**

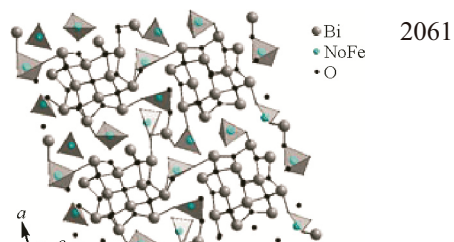
**Ключевые слова:** боросиликаты, порошковая дифрактометрия, термическое поведение, полиморфизм



Михайловская З.А., Петрова С.А., Буянова Е.С., Абрахамс А.

**Высокотемпературные исследования структуры сложных оксидов на основе Bi<sub>26</sub>Mo<sub>10</sub>O<sub>69-d</sub>**

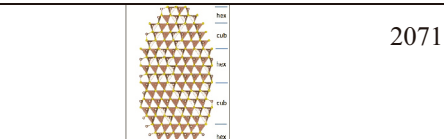
**Ключевые слова:** молибдаты висмута, оксид висмута, кислородно-ионные проводники, высокотемпературная рентгеновская дифракция, высокотемпературная нейтронная дифракция, bismuth molybdate, bismuth oxide, oxygen ion conductors, HTXRPD, HTNPD



Евтушок Б.Ю., Черепанова С.В., Козлова Е.А.

**Структура и морфология наночастиц CdS**

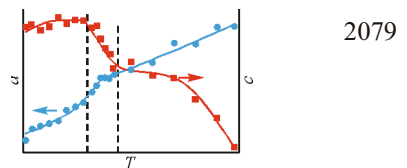
**Ключевые слова:** дефекты упаковки, форма частиц, моделирование, формула Дебая, DISCUS



Фёдорова О.М., Ведмидь Л.Б.

**Структурные изменения феррита иттербия  $\text{YBF}_2\text{O}_4$  в интервале температур от  $-150$  до  $300$  °C**

**Ключевые слова:** феррит железа, рентгеноструктурный анализ, коэффициенты термического расширения

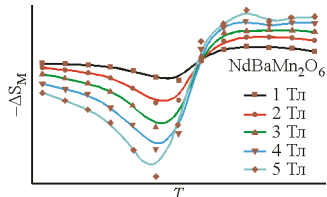


2079

Стерхов Е.В., Упоров С.А.

**Трансформация магнитных переходов и кристаллической структуры  $\text{NdBaMn}_2\text{O}_6$  при диамагнитном разбавлении ионами  $\text{Ti}^{4+}$  по Mn-подрешетке**

**Ключевые слова:** двойные мanganиты, упорядочение, магнитокалорический эффект, магнитные фазовые переходы



2083

<b>Указатель статей. Том 59.....</b>	2090
<b>Авторский указатель. Том 59.....</b>	2103

**Содержание следующего номера — в конце журнала**